

УДК 691.328

ВЛИЯНИЕ ТЕХНОЛОГИЧЕСКОЙ ПОВРЕЖДЁННОСТИ И ФОРМЫ СЕЧЕНИЯ НА РАБОТУ БАЛОК ПО НАКЛОННЫМ СЕЧЕНИЯМ.

Дорофеев В.С., Евдокименко В.В. (Одесса)

Рассматриваются результаты экспериментальных исследований железобетонных балок из тяжелого бетона с учетом влияния технологической поврежденности структуры и формы сечения на работу балок по наклонным сечениям.

Под технологической поврежденностью мы будем понимать технологические дефекты (трещины), которые возникают в материале строительных конструкций в период организации структуры и которые существуют в нем до приложения внешних нагрузок [2].

Для определения коэффициента технологической поврежденности бетона K_n , образцы выдерживались в водных растворах танина [1]. Изменения щелочности бетона в районе трещины танины меняли окраску. Длину поверхности трещин определяли при помощи курвиметра на двух гранях образца.

Коэффициент K_n определялся по наклонным сечениям – в зоне совместного действия поперечной силы и изгибающего момента и по площади [2].

Было замечено, что с увеличением насыщенности балок арматурой увеличивалась поврежденность бетона.

В лаборатории железобетонных и каменных конструкций были испытаны четыре балки прямоугольного сечения с размерами: $10 \times 15 \times 120$ см, и две балки переменного сечения с размерами: ширина 10 см, длина 120 см, высота на концах балки 10 см и высота в центре балки 15 см. Балки изготовлены из тяжелого бетона.

Для каждой серии образцов были изготовлены кубы размером $10 \times 10 \times 10$ см и призмы $10 \times 10 \times 40$ см.

Арматурные стержни испытывались на растяжение (отрезки длиной 25...30 см).

Схемы армирования и загрузки образцов изображены на рисунке 1.

С целью определения напряженно – деформированного состояния бетона в сжатой зоне использовались проволочные тензорезисторы на бумажной основе с базой 50 мм и сопротивлением 400 Ом, наклеенные в зоне чистого изгиба.

Физико–механические характеристики бетона и арматуры, геометрические размеры сведены в таблицу 1, коэффициенты K_n сведены в таблицу 2.

Загрузка балок производилось ступенями $0,1M_u$. Кроме этого на протяжении всего испытания вплоть до разрушения образца, велось визуальное наблюдение за трещинами. Ширина раскрытия наклонных трещин измерялась при выдержки образца на каждой ступени с помощью микроскопа МПБ-2 с ценой деления 0,005 мм при 24-х кратном увеличении.

Результаты исследований несущей способности экспериментальных балок представлены в таблице 3.

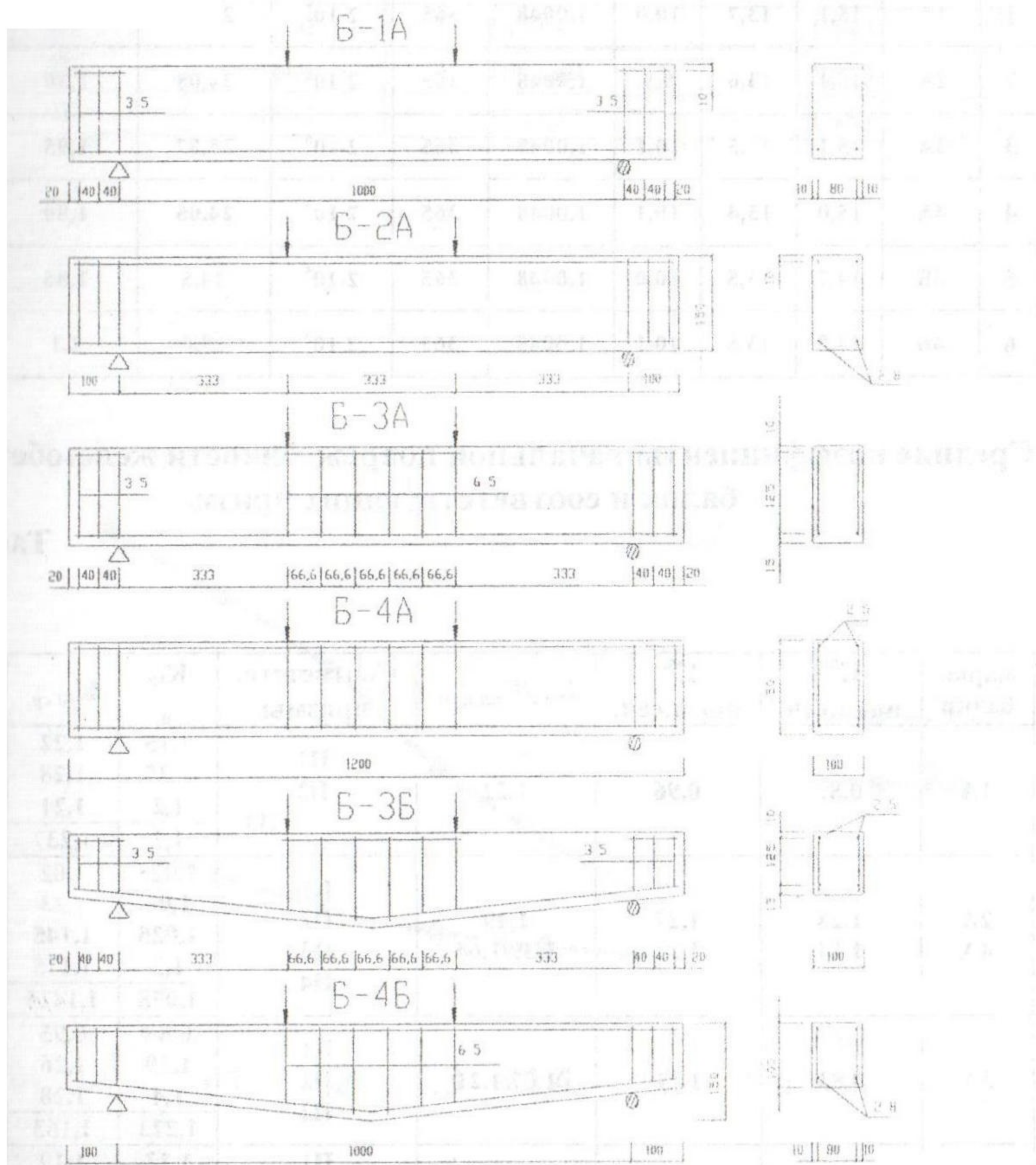
Чтобы определить тесноту взаимосвязи между K_n и разрушающей нагрузкой был проведен корреляционный анализ. Полученный коэффициент корреляции оказался больше 0,4 это значит, что между технологической поврежденностью и разрушающей нагрузкой существует тесная связь (рис.2).

Изменение формы сечения ведёт к изменению работы балок. Это наглядно видно на графиках показывающих изменение высоты сжатой зоны (рис.3). В балках постоянного сечения с увеличением нагрузки высота сжатой зоны уменьшается и продолжает разрушаться вплоть до разрушения. Однако в балках переменного сечения высота сжатой зоны уменьшается только на начальной стадии нагружения и при увеличении нагрузки высота сжатой зоны увеличивается и продолжает увеличиваться до разрушения. Это свидетельствует о том, что происходит перераспределение деформаций в элементе.

Также это подтверждает визуальное наблюдение за элементом. В балках постоянного сечения наклонная трещина, по которой происходит разрушение, проявляется уже за несколько ступеней до разрушения и при дальнейшем нагружении увеличивается ширина ее раскрытия, что и приводит к разрушению элемента. А в балках переменного сечения разрушение по наклонной трещине происходит резко и эта трещина не проявляется до разрушения.

Это значит, что происходит перераспределение деформаций в бетоне от зоны чистого изгиба к зоне совместного действия изгибающего момента

и поперечной силы (в сечении от опоры до силы) которое и приводит к разрушению образца по наклонной трещине.



**Рис.1. Схемы армирования опытных образцов.
Характеристики опытных образцов.**

Таблица 1.

| № п / п | марка балки | Размеры балки | | | Арматура | | | Бетон | | |
|---------|-------------|---------------|---------------------|-------|--------------------|----------------------|----------------------|----------------------|-----------------------|----------------------|
| | | h, см | h ₀ , см | b, см | F, см ² | σ ⁿ , МПа | E _s , МПа | R _b , МПа | R _{bt} , МПа | E _b , МПа |
| 1 | 1А | 15,1 | 13,7 | 10,0 | 1,0048 | 365 | 2·10 ⁵ | 25,27 | 1,80 | 232008 |
| 2 | 2А | 15,1 | 13,6 | 9,9 | 1,0048 | 365 | 2·10 ⁵ | 24,08 | 1,80 | 212733 |
| 3 | 3А | 15,1 | 13,5 | 10,1 | 1,0048 | 365 | 2·10 ⁵ | 25,97 | 1,95 | 233645 |
| 4 | 4А | 15,0 | 13,4 | 10,1 | 1,0048 | 365 | 2·10 ⁵ | 24,08 | 1,80 | 212733 |
| 5 | 3Б | 14,7 | 13,5 | 10,0 | 1,0048 | 365 | 2·10 ⁵ | 24,5 | 1,85 | 225411 |
| 6 | 4Б | 14,8 | 13,5 | 10,1 | 1,0048 | 365 | 2·10 ⁵ | 29,0 | 2,1 | 229150 |

Средние коэффициенты начальной поврежденности железобетонных балок и соответствующих призм.

Таблица 2.

| марка балки | K ^{дл} накл.сеч. | K ^{дл} норм.сеч. | K _{пл} /K _{пл.арм.} | Соответств. призмы | K ₁₀ ср. | K ₄₀ ср. | K _{пл.ср.} |
|-------------|---------------------------|---------------------------|---------------------------------------|----------------------|---------------------|---------------------|---------------------|
| 1А | 0,89 | 0,96 | 1,22 | П1 П2 П3 | 1,15 | 1,22 | 1,52 |
| | | | | | 1,25 | 1,28 | 2,06 |
| | | | | | 1,2 | 1,21 | 1,84 |
| | | | | | 1,2 | 1,237 | 1,807 |
| 2А 4А | 1,28 1,14 | 1,27 1,26 | 1,49 1,39/1,64 | П1 П2 П3 П4 | 1,025 | 1,02 | 1,41 |
| | | | | | 1,06 | 1,23 | 1,66 |
| | | | | | 1,025 | 1,145 | 1,485 |
| | | | | | 1,2 | 1,175 | 1,63 |
| | | | | | 1,078 | 1,1425 | 1,546 |
| 3А | 0,83 | 1,21 | 1,07/1,21 | П1 П2 П3 | 0,88 | 0,95 | 1,33 |
| | | | | | 1,39 | 1,26 | 1,865 |
| | | | | | 1,4 | 1,28 | 2,02 |
| | | | | | 1,223 | 1,163 | 1,738 |
| 3Б | 0,69 | 0,87 | 1,03/1,09 | П1 П2 П3 | 1,13 | 1,19 | 1,61 |
| | | | | | 1,25 | 1,25 | 2,08 |
| | | | | | 1,3 | 1,34 | 2,0 |
| | | | | | 1,23 | 1,26 | 1,9 |
| 4Б | 1,15 | 1,28 | 1,72/1,75 | П1 П2 П3 П4 | 1,125 | 1,09 | 1,74 |
| | | | | | 1,32 | 1,24 | 2,18 |
| | | | | | 1,3 | 1,25 | 2,22 |
| | | | | | 1,25 | 1,18 | 2,28 |
| | | | | | 1,25 | 1,19 | 2,105 |

Результаты испытания балок.

Таблица 3.

| Марка балки | $Q_3, \text{кг}$ | $Q_{\text{СНП}}, \text{кг}$ | $Q_3 / Q_{\text{СНП}}$ |
|-------------|------------------|-----------------------------|------------------------|
| 1А | 2000 | 1521,81 | 1,314 |
| 2А | 1540 | 1484,68 | 1,037 |
| 3А | 2190 | 1616,85 | 1,354 |
| 4А | 1680 | 1470,45 | 1,143 |
| 3Б | 1660 | 1083,00 | 1,533 |
| 4Б | 1880 | 1263,52 | 1,488 |

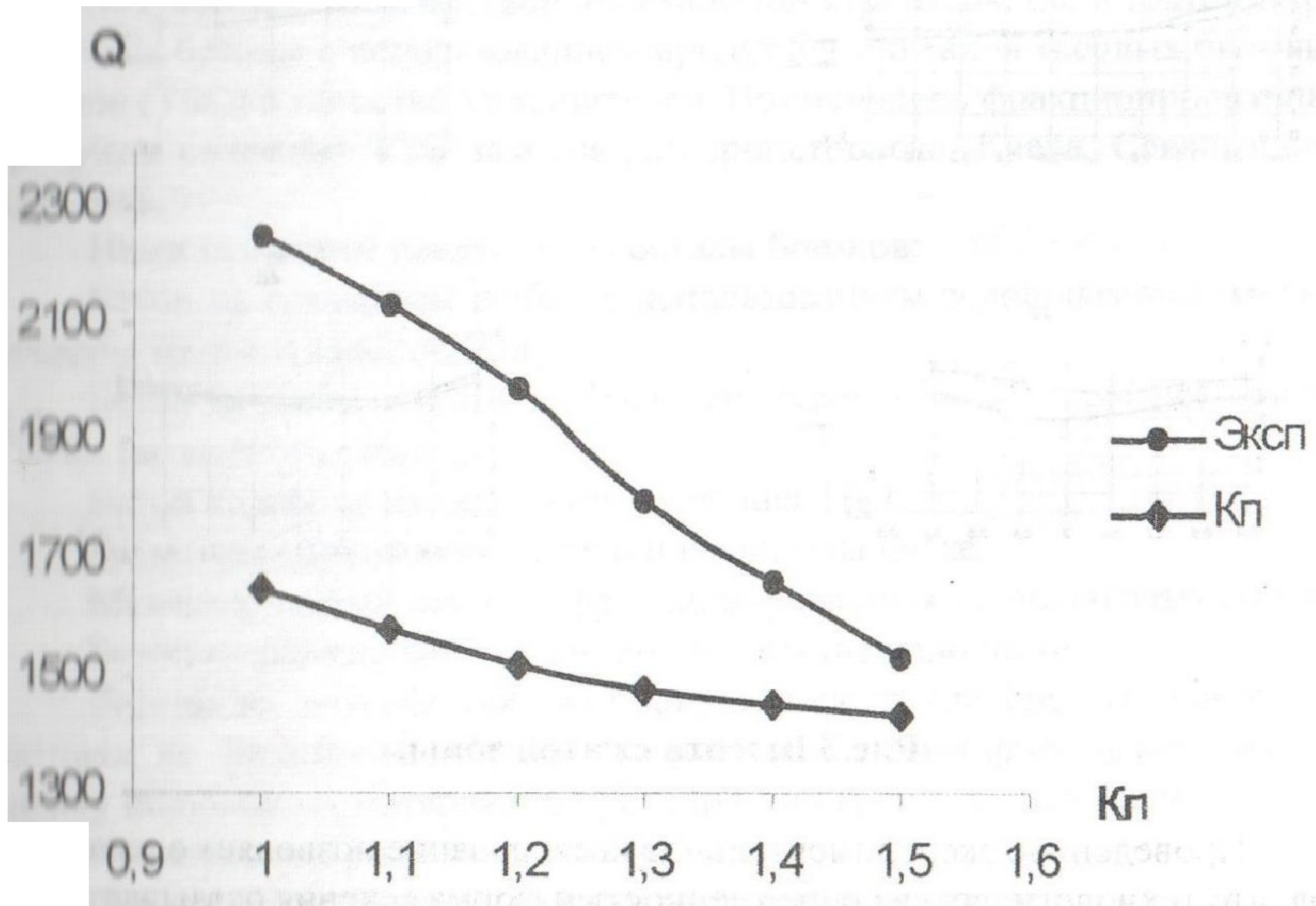


Рис.2 Графическое отображение испытания балок

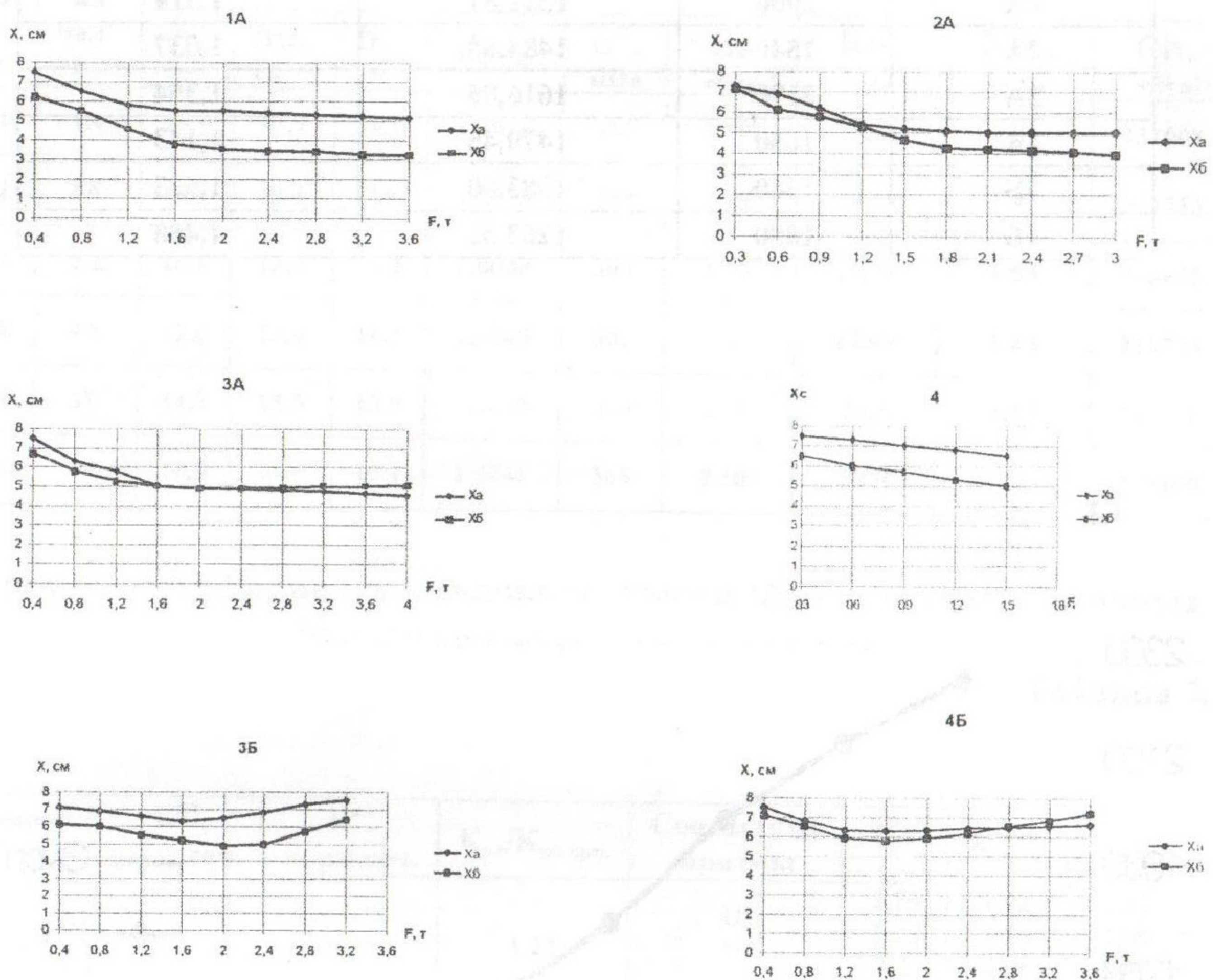


Рис.3 Высота сжатой зоны.

Проведенное экспериментальное исследование позволяет сделать вывод, что технологическая поврежденность и форма сечения оказывает влияние на работу балок по наклонным сечениям и требует дальнейшего исследования.

Литература

1. Выровой В.Н., Дорофеев В.С., Макарова С.С., Абакумов С.А. Способ выявления трещин в бетонных и железобетонных конструкциях на неорганическом вяжущем.- Полож. Реш. №5008907/33(059304) от 03-07.91.
2. Дорофеев В.С., Выровой В.Н. Технологическая поврежденность строительных материалов и конструкций.-О.:Город мастеров, 1998.-168 с.
3. Вісник Одеської державної академії будівництва та архітектури-випуск №2-О.:Місто майстрів,2000.-с.16-19.